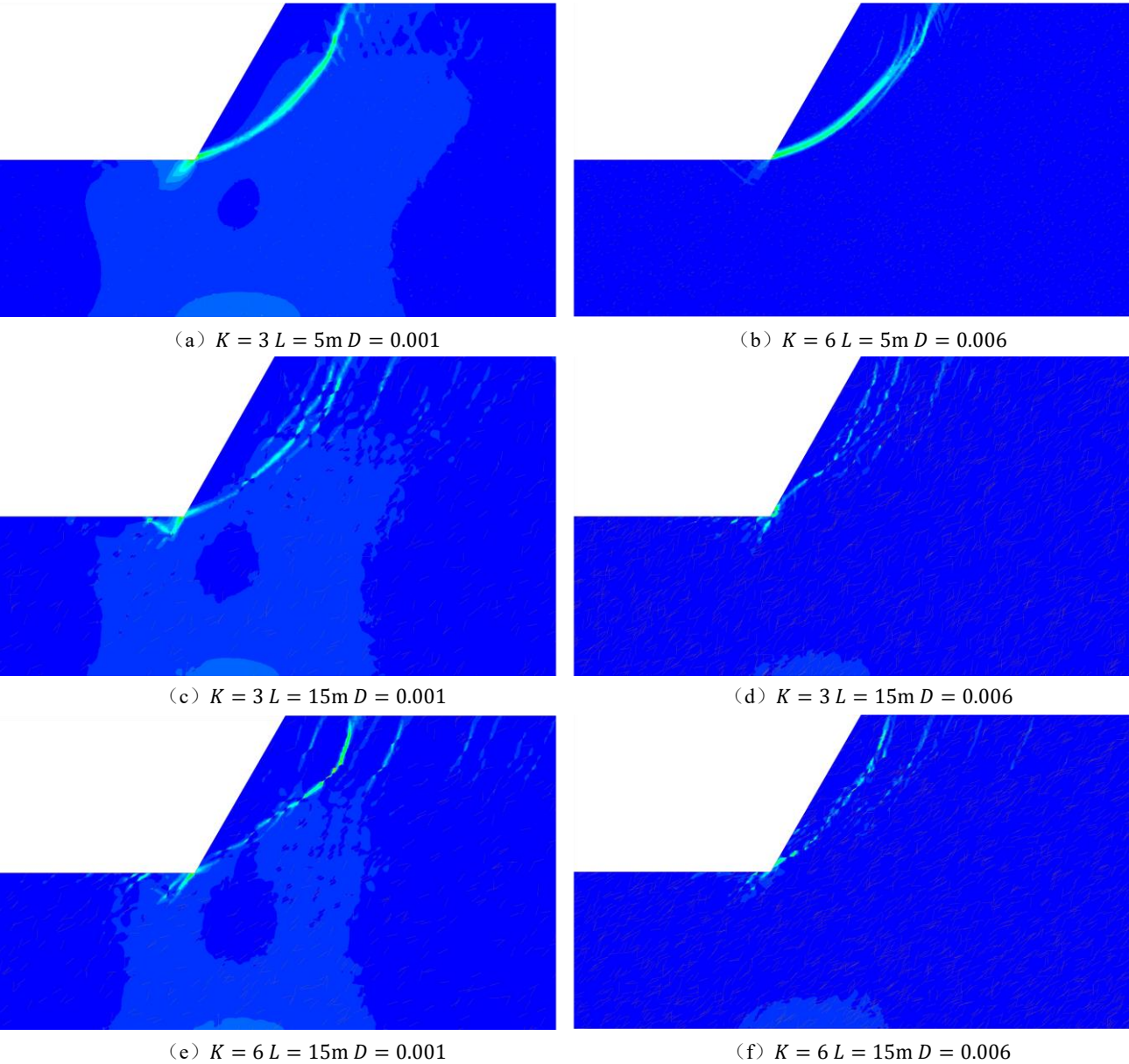


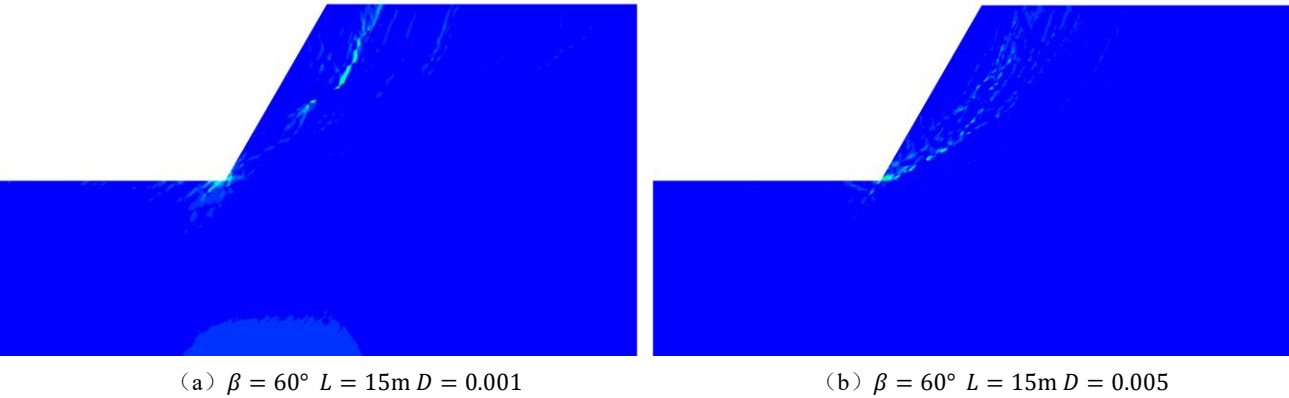
附录图表

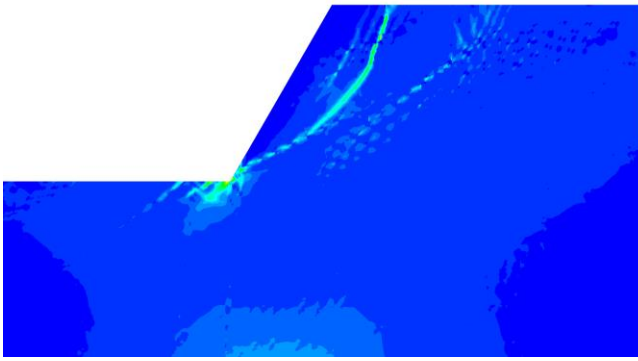
附图：不同坡体结构类型下岩质边坡最大塑性剪应变云图



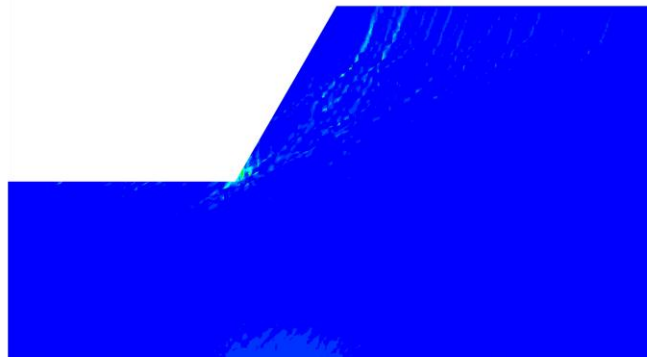
附图 1 整体块状结构边坡不同工况下最大塑性剪应变云图

Attached Fig.1 Clouds of maximum plastic shear strain under different working conditions on slopes of integral massive structure





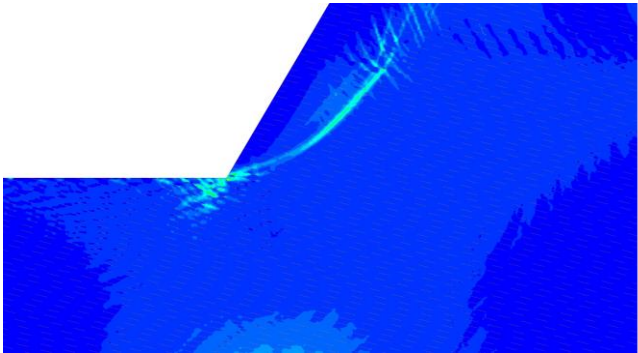
(c) $\beta = 90^\circ$ $L = 15\text{m}$ $D = 0.001$



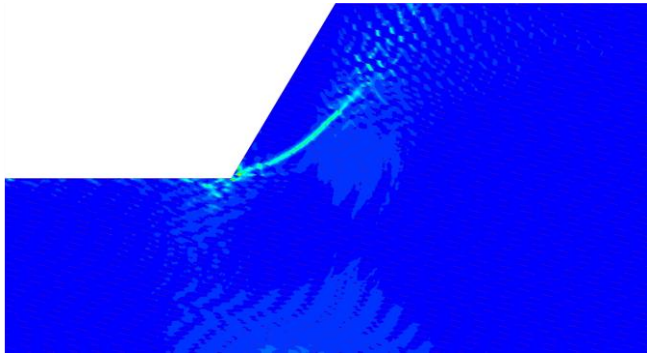
(d) $\beta = 90^\circ$ $L = 15\text{m}$ $D = 0.005$

附图 2 块状结构边坡不同工况下最大塑性剪应变云图

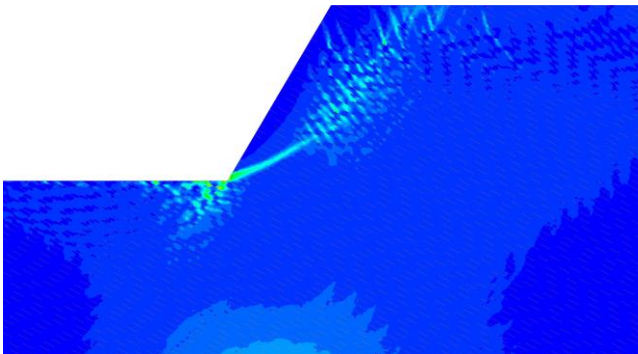
Attached Fig.2 Clouds of maximum plastic shear strain under different working conditions of massive structure



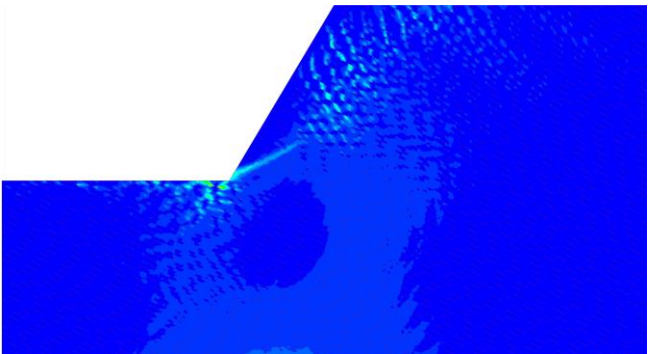
(a) $\beta = 15^\circ$ $L = 20\text{m}$ 结构面强度 1



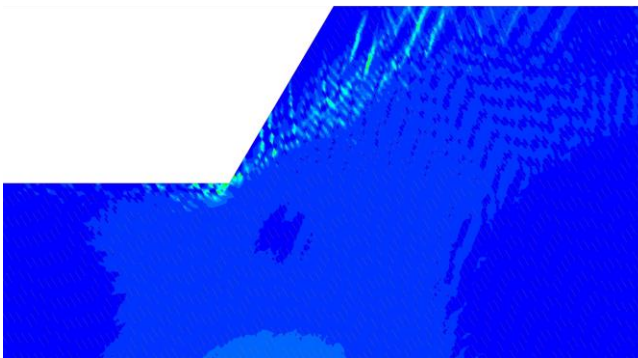
(b) $\beta = -15^\circ$ $L = 20\text{m}$ 结构面强度 5



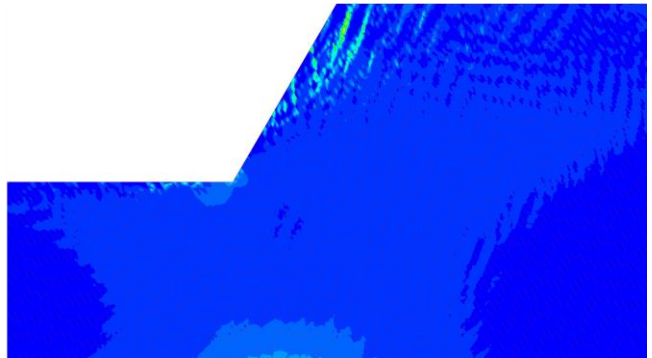
(c) $\beta = 30^\circ$ $L = 20\text{m}$ 结构面强度 1



(d) $\beta = 30^\circ$ $L = 20\text{m}$ 结构面强度 5



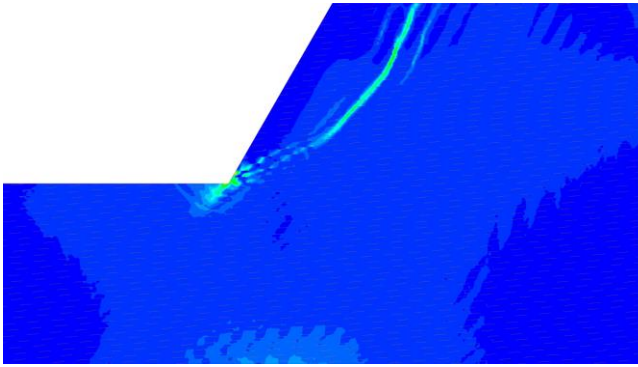
(e) $\beta = 60^\circ$ $L = 20\text{m}$ 结构面强度 1



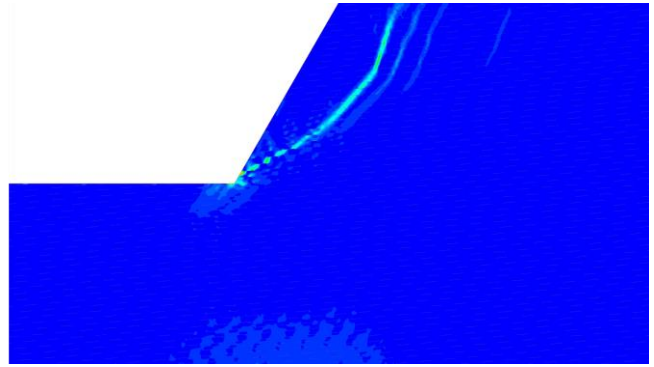
(f) $\beta = 60^\circ$ $L = 20\text{m}$ 结构面强度 5

附图 3 反向结构边坡不同工况下最大塑性剪应变云图

Attached Fig.3 Maximum plastic shear strain clouds under different working conditions of reverse structure



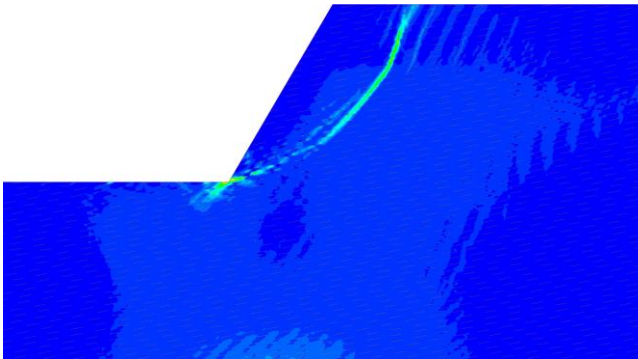
(a) $\beta = 5^\circ$ $L = 20\text{m}$ 结构面强度 1



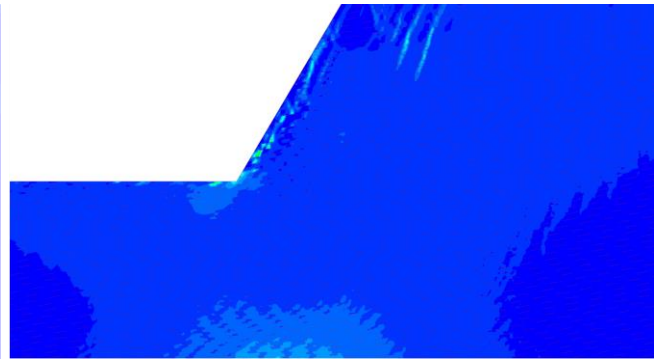
(b) $\beta = 5^\circ$ $L = 20\text{m}$ 结构面强度 4

附图 4 平叠结构边坡不同工况下最大塑性剪应变云图

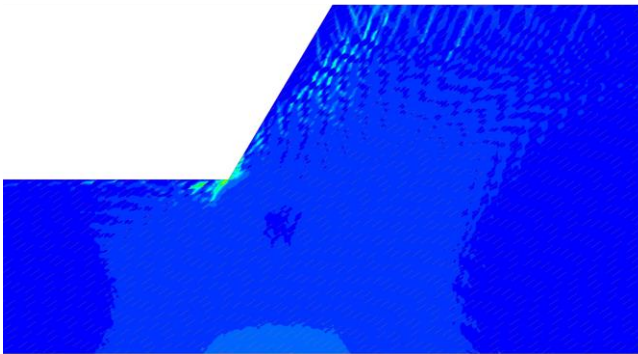
Attached Fig.4 Clouds of maximum plastic shear strain under different working conditions on flat stacked structure



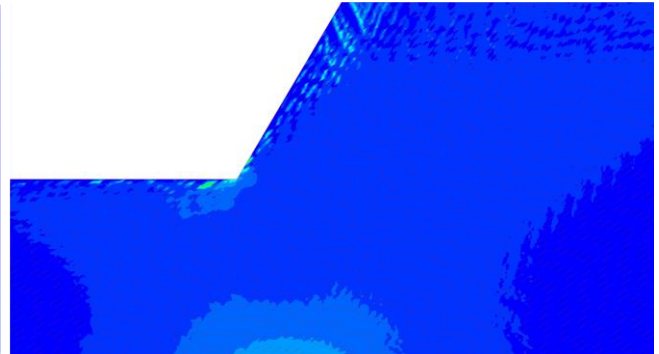
(a) $\beta = 15^\circ$ $L = 20\text{m}$ 结构面强度 1



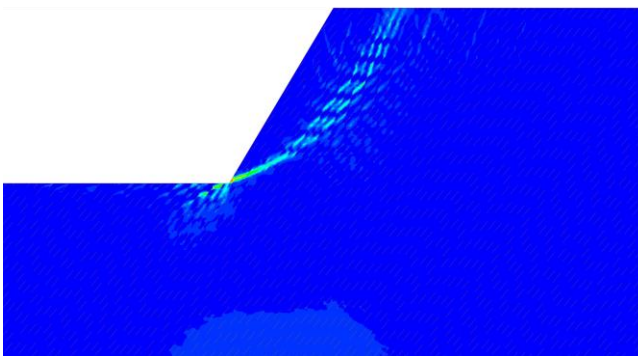
(b) $\beta = 15^\circ$ $L = 20\text{m}$ 结构面强度 5



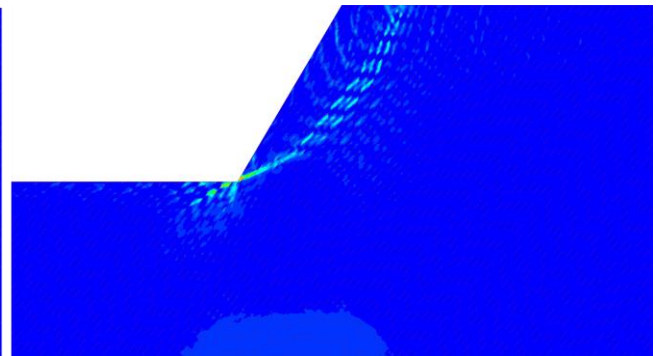
(c) $\beta = 45^\circ$ $L = 20\text{m}$ 结构面强度 1



(d) $\beta = 45^\circ$ $L = 20\text{m}$ 结构面强度 5



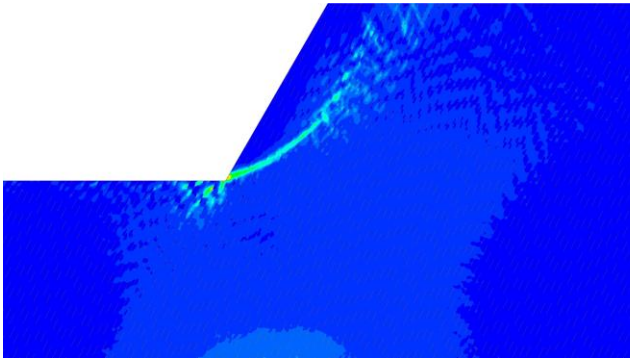
(e) $\beta = 60^\circ$ $L = 20\text{m}$ 结构面强度 1



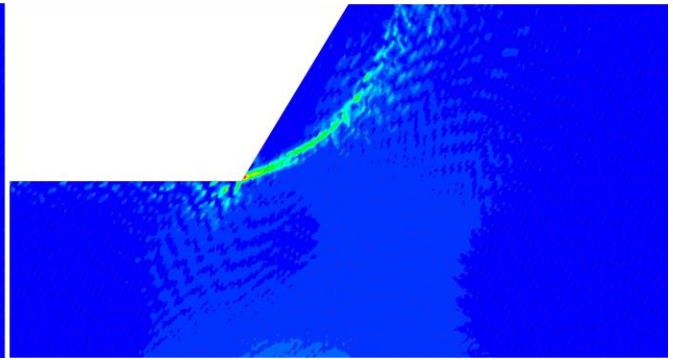
(f) $\beta = 60^\circ$ $L = 20\text{m}$ 结构面强度 5

附图 5 斜向结构边坡不同工况下最大塑性剪应变云图

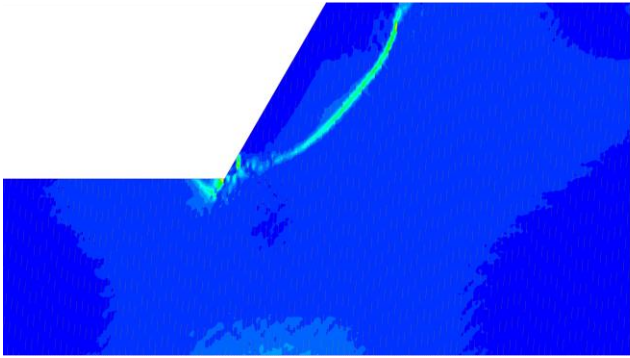
Attached Fig.5 Clouds of maximum plastic shear strain under different working conditions of oblique structure



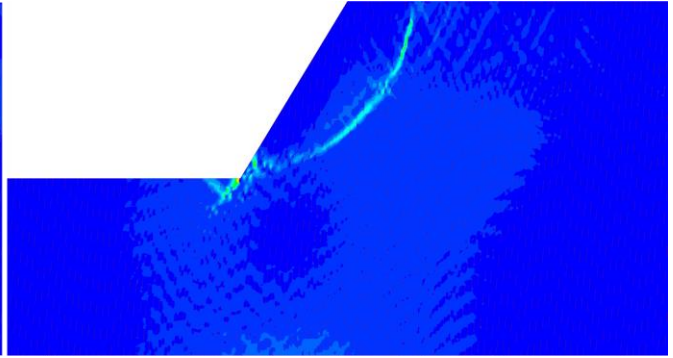
(a) $\beta = 65^\circ L = 20\text{m}$ 结构面强度 1



(b) $\beta = 65^\circ L = 20\text{m}$ 结构面强度 5



(c) $\beta = 85^\circ L = 20\text{m}$ 结构面强度 1



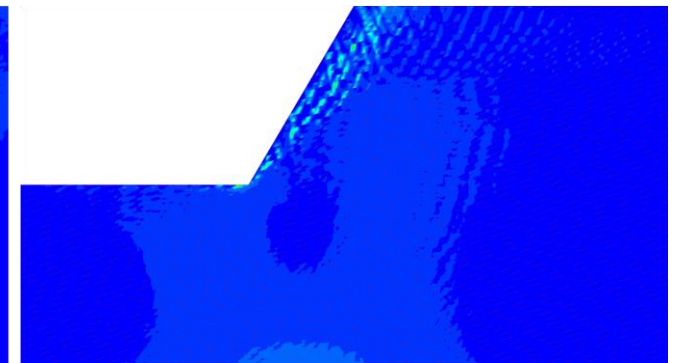
(d) $\beta = 85^\circ L = 20\text{m}$ 结构面强度 5

附图 6 层面陡倾顺向结构边坡不同工况下最大塑性剪应变云图

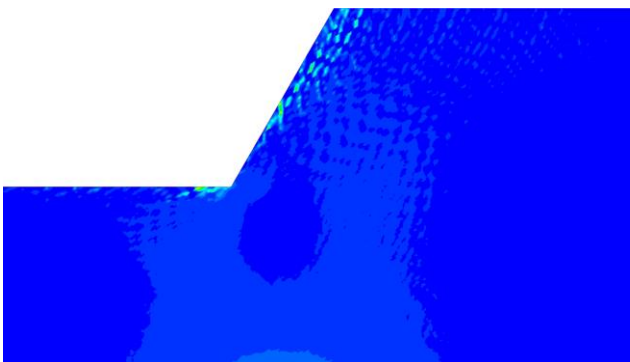
Attached Fig.6 Clouds of maximum plastic shear strain under different working conditions of layered steep slope forward structure



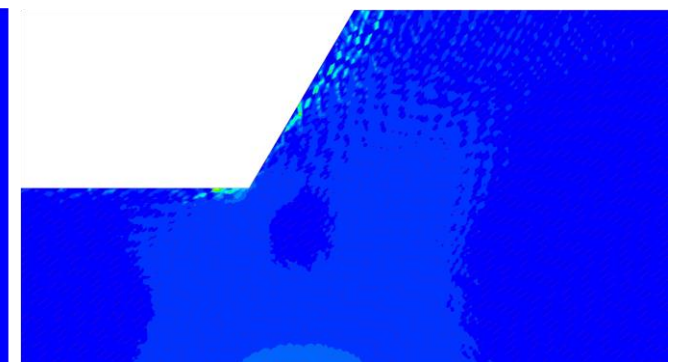
(a) $\beta = 20^\circ L = 20\text{m}$ 结构面强度 3



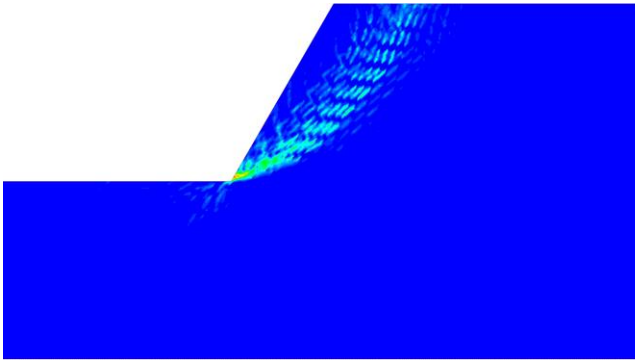
(b) $\beta = 20^\circ L = 20\text{m}$ 结构面强度 5



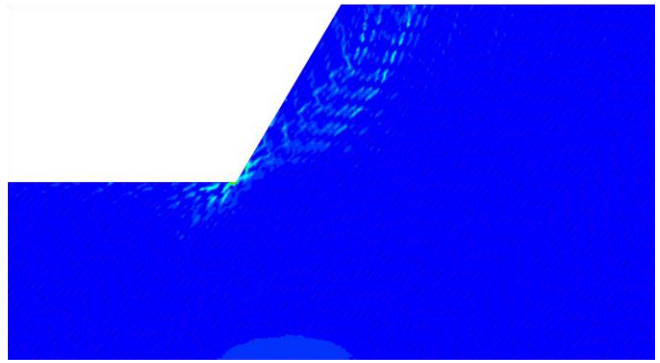
(c) $\beta = 40^\circ L = 20\text{m}$ 结构面强度 3



(d) $\beta = 40^\circ L = 20\text{m}$ 结构面强度 5



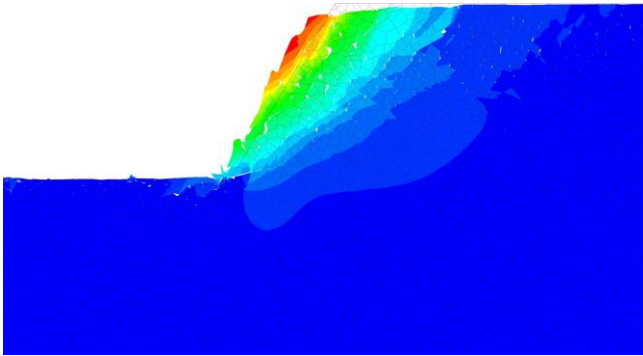
(e) $\beta = 50^\circ$ $L = 20\text{m}$ 结构面强度 3



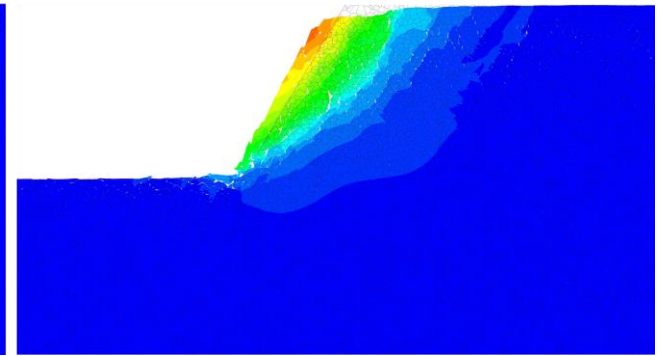
(f) $\beta = 50^\circ$ $L = 20\text{m}$ 结构面强度 5

附图 7 层面弱面顺向结构边坡不同工况下最大塑性剪应变云图

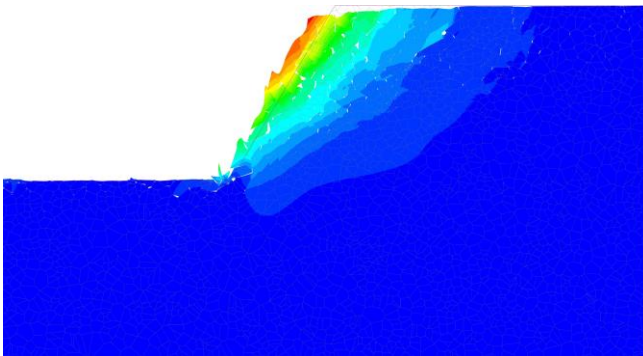
Attached Fig.7 Clouds of maximum plastic shear strain under different working conditions on the slope of layered weak surface forward structure



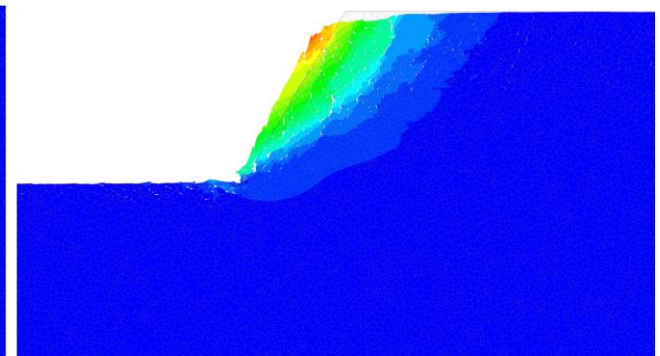
(a) $D=0.005$ 结构面强度2



(b) $D=0.015$ 结构面强度2



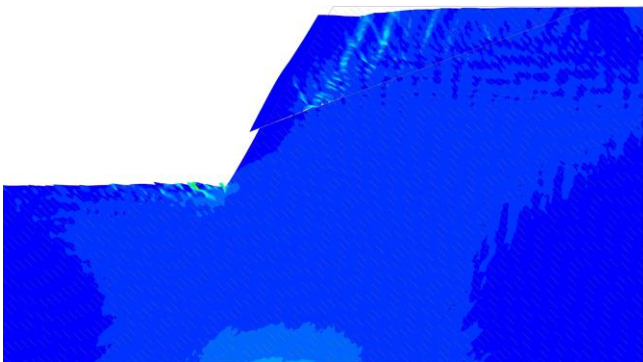
(c) $D=0.005$ 结构面强度4



(d) $D=0.015$ 结构面强度4

附图 8 碎裂散状结构边坡不同工况下总位移云图

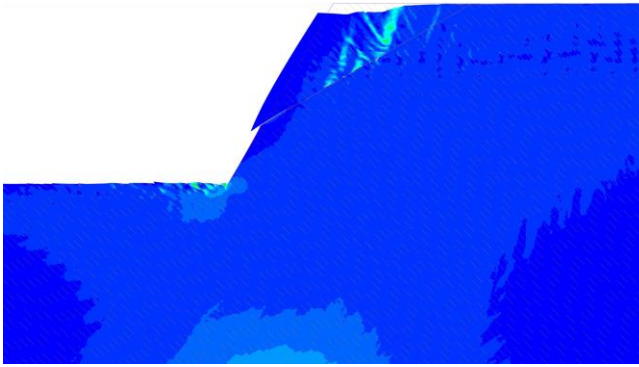
Attached Fig.8 Total displacement clouds under different working conditions of cataclastic structure



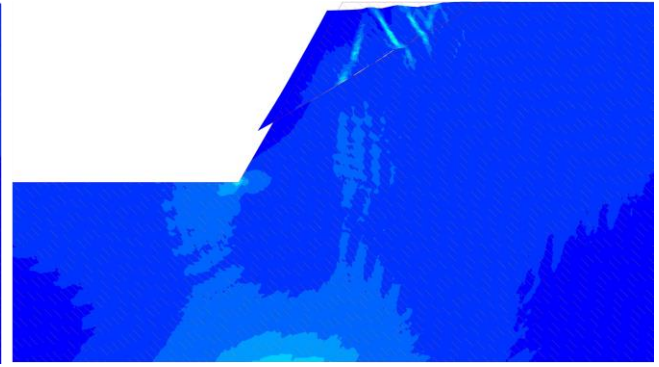
(a) $\beta = 20^\circ$ 结构面强度 1



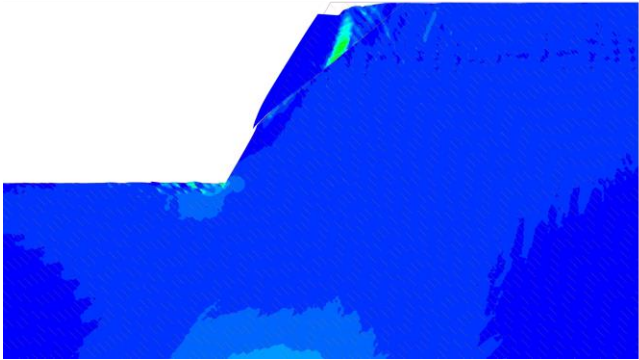
(b) $\beta = 20^\circ$ 结构面强度 5



(c) $\beta = 30^\circ$ 结构面强度 1



(d) $\beta = 30^\circ$ 结构面强度 5



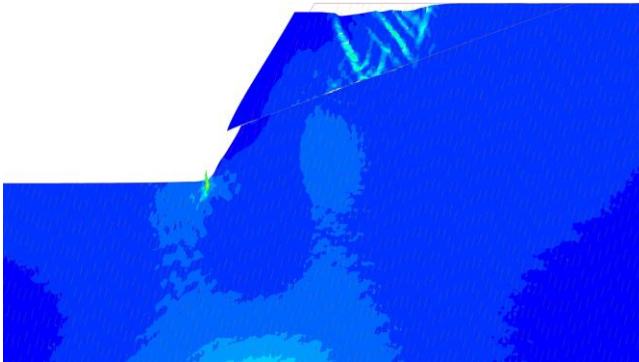
(e) $\beta = 40^\circ$ 结构面强度 1



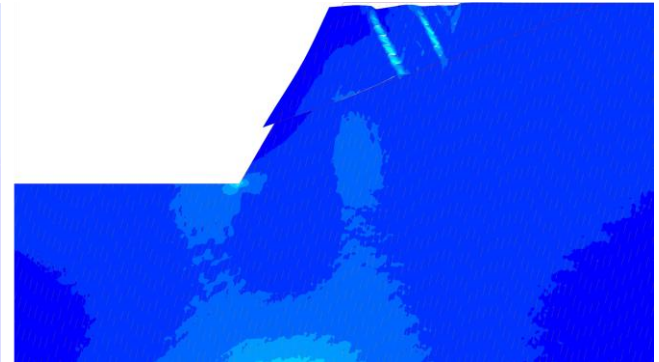
(f) $\beta = 40^\circ$ 结构面强度 5

附图 9 反向倾倒结构边坡不同工况下最大塑性剪应变云图

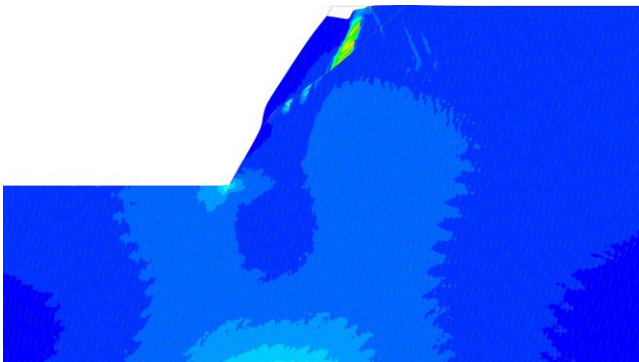
Attached Fig.9 Maximum plastic shear strain clouds under different working conditions of reverse toppling structure



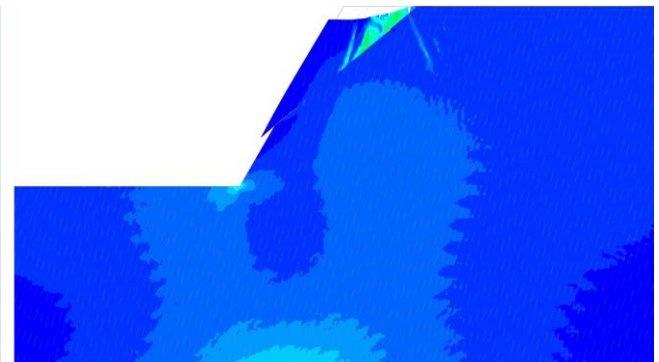
(a) $\beta = 20^\circ$ 结构面强度 1



(b) $\beta = 20^\circ$ 结构面强度 5



(c) $\beta = 40^\circ$ 结构面强度 1



(d) $\beta = 40^\circ$ 结构面强度 5

附图 10 层面陡倾顺向倾倒结构边坡不同工况下最大塑性剪应变云图

Attached Fig.10 Clouds of maximum plastic shear strain under different working conditions of slopes with layered steep slope forward toppling structure

附表：不同坡体结构类型下岩质边坡

安全稳定率计算结果

附表 1 整体块状结构边坡安全稳定率
Attached Table 1 Safety stability rate of integral massive structure

Fisher 常数 K	结构 面迹	结构面密度 $D/$ （单位面积结构面数目）					
	长						
	L/m	0.001	0.002	0.003	0.004	0.005	0.006
1	5	0.957	0.957	0.957	0.953	0.957	0.957
	10	0.949	0.945	0.917	0.917	0.917	0.906
	15	0.929	0.902	0.870	0.862	0.827	0.799
2	5	0.965	0.972	0.965	0.972	0.965	0.957
	10	0.957	0.965	0.957	0.945	0.921	0.929
	15	0.933	0.937	0.894	0.862	0.839	0.752
3	5	0.969	0.969	0.965	0.961	0.965	0.957
	10	0.949	0.949	0.961	0.921	0.921	0.909
	15	0.925	0.906	0.874	0.827	0.827	0.807
4	5	0.972	0.972	0.972	0.969	0.969	0.969
	10	0.957	0.945	0.949	0.929	0.929	0.937
	15	0.929	0.890	0.878	0.870	0.776	0.764
5	5	0.976	0.976	0.965	0.976	0.969	0.969
	10	0.957	0.945	0.933	0.933	0.925	0.874
	15	0.917	0.882	0.882	0.843	0.764	0.756
6	5	0.976	0.976	0.972	0.965	0.969	0.969
	10	0.957	0.957	0.937	0.929	0.917	0.909
	15	0.913	0.878	0.858	0.846	0.756	0.728

附表 2 块状结构边坡安全稳定率
Attached Table 2 Safety stability rate of massive structure

结构面 2 产状	结构面 迹长	结构面密度 $D/$ （单位面积结构面数目）				
	L/m	0.001	0.002	0.003	0.004	0.005
倾向：270°	5	0.957	0.965	0.953	0.961	0.957
倾向角：0°	10	0.961	0.937	0.882	0.886	0.827
$\alpha = 0^\circ \quad \beta = 0^\circ$	15	0.898	0.819	0.783	0.571	0.559
倾向：270°	5	0.965	0.965	0.957	0.957	0.957
倾向角：60°	10	0.925	0.941	0.941	0.937	0.850
$\alpha = 0^\circ \quad \beta = 60^\circ$	15	0.756	0.752	0.689	0.661	0.622
倾向：270°	5	0.953	0.961	0.961	0.957	0.949
倾向角：90°	10	0.921	0.874	0.819	0.756	0.748
$\alpha = 0^\circ \quad \beta = 90^\circ$	15	0.925	0.843	0.732	0.693	0.638
倾向：90°	5	0.961	0.957	0.965	0.961	0.965
倾向角：60°	10	0.937	0.898	0.866	0.724	0.697
$\alpha = 0^\circ \quad \beta = -60^\circ$	15	0.776	0.724	0.642	0.614	0.579
倾向：90°	5	0.957	0.965	0.953	0.965	0.953
倾向角：30°	10	0.917	0.874	0.878	0.858	0.858

结构面 2 产状	结构面 迹长	结构面密度 $D/$ （单位面积结构面数目）				
	L/m	0.001	0.002	0.003	0.004	0.005
$\alpha = 0^\circ \quad \beta = -30^\circ$	15	0.866	0.831	0.776	0.760	0.752

注： α 为结构面与坡面走向的夹角； β 为结构面倾角，其为“+”时表示结构面与坡面倾向相同，否则相反。

附表 3 反向结构边坡安全稳定率
Attached Table 3 Safety stability rate of reverse structure

结构面 2 产状	结 构 面 迹 长	结构面强度				
	L/m	1	2	3	4	5
倾向：85°	10	0.969	0.965	0.953	0.949	0.937
倾向角：15°	15	0.969	0.957	0.929	0.921	0.902
$\alpha = 5^\circ \quad \beta = -15^\circ$	20	0.969	0.957	0.945	0.933	0.909
倾向：85°	10	0.957	0.961	0.937	0.933	0.917
倾向角：30°	15	0.941	0.949	0.909	0.898	0.878
$\alpha = 5^\circ \quad \beta = -30^\circ$	20	0.933	0.941	0.890	0.874	0.846
倾向：85°	10	0.941	0.945	0.917	0.909	0.591
倾向角：45°	15	0.882	0.890	0.610	0.496	0.350
$\alpha = 5^\circ \quad \beta = -45^\circ$	20	0.854	0.866	0.705	0.618	0.433
倾向：85°	10	0.913	0.913	0.866	0.858	0.835
倾向角：60°	15	0.819	0.740	0.394	0.319	0.213
$\alpha = 5^\circ \quad \beta = -60^\circ$	20	0.752	0.614	0.354	0.287	0.197
倾向：75°	10	0.961	0.961	0.969	0.965	0.953
倾向角：15°	15	0.949	0.949	0.917	0.909	0.890
$\alpha = 15^\circ \quad \beta = -15^\circ$	20	0.965	0.949	0.925	0.913	0.894
倾向：75°	10	0.961	0.961	0.941	0.933	0.921
倾向角：30°	15	0.941	0.949	0.909	0.898	0.882
$\alpha = 15^\circ \quad \beta = -30^\circ$	20	0.937	0.949	0.902	0.886	0.862
倾向：75°	10	0.949	0.949	0.929	0.925	0.913
倾向角：45°	15	0.886	0.890	0.677	0.547	0.386
$\alpha = 15^\circ \quad \beta = -45^\circ$	20	0.866	0.874	0.685	0.587	0.406
倾向：75°	10	0.921	0.921	0.902	0.898	0.886
倾向角：60°	15	0.823	0.744	0.441	0.362	0.256
$\alpha = 15^\circ \quad \beta = -60^\circ$	20	0.772	0.705	0.413	0.335	0.224
倾向：65°	10	0.972	0.961	0.961	0.957	0.945
倾向角：15°	15	0.957	0.961	0.945	0.933	0.913
$\alpha = 25^\circ \quad \beta = -15^\circ$	20	0.953	0.953	0.949	0.937	0.913
倾向：65°	10	0.965	0.965	0.949	0.941	0.929
倾向角：30°	15	0.945	0.953	0.913	0.898	0.878
$\alpha = 25^\circ \quad \beta = -30^\circ$	20	0.941	0.945	0.902	0.886	0.854
倾向：65°	10	0.953	0.957	0.933	0.929	0.917

结构面产状	结	结构面强度				
	构					
	面					
	迹	1	2	3	4	5
	长					
	L/m					
倾向：45°	15	0.909	0.913	0.803	0.681	0.472
$\alpha = 25^\circ \beta = -45^\circ$	20	0.874	0.882	0.665	0.567	0.394
倾向：65°	10	0.929	0.925	0.894	0.878	0.685
倾向：60°	15	0.839	0.795	0.480	0.472	0.299
$\alpha = 25^\circ \beta = -60^\circ$	20	0.787	0.720	0.409	0.339	0.236

附表 4 平叠结构边坡安全稳定性率
Attached Table 4 Safety stability rate of flat stacked structure

结构面产状	结构	结构面强度				
	面迹					
	长	1	2	3	4	5
	L/m					
倾向：270°	10	0.941	0.949	0.921	0.902	0.906
倾向：5°	15	0.909	0.925	0.866	0.850	0.803
$\alpha = 0^\circ \beta = 5^\circ$	20	0.894	0.909	0.807	0.787	0.531
倾向：270°	10	0.941	0.945	0.921	0.917	0.902
倾向：0°	15	0.913	0.921	0.878	0.866	0.850
$\alpha = 0^\circ \beta = 0^\circ$	20	0.858	0.933	0.886	0.870	0.839
倾向：90°	10	0.953	0.945	0.933	0.941	0.933
倾向：5°	15	0.925	0.933	0.894	0.886	0.874
$\alpha = 0^\circ \beta = -5^\circ$	20	0.925	0.929	0.890	0.878	0.858

附表 5 斜向结构边坡安全稳定性率
Attached Table 5 Safety stability rate of oblique structure

结构面产状	结构	结构面强度				
	面迹					
	长	1	2	3	4	5
	L/m					
倾向：305°	10	0.937	0.945	0.902	0.744	0.488
倾向：15°	15	0.894	0.894	0.646	0.551	0.374
$\alpha = 35^\circ \beta = 15^\circ$	20	0.846	0.854	0.602	0.512	0.350
倾向：305°	10	0.925	0.925	0.512	0.472	0.339
倾向：30°	15	0.803	0.744	0.394	0.350	0.236
$\alpha = 35^\circ \beta = 30^\circ$	20	0.701	0.575	0.331	0.268	0.181
倾向：305°	10	0.921	0.913	0.878	0.870	0.858
倾向：45°	15	0.882	0.870	0.811	0.791	0.776
$\alpha = 35^\circ \beta = 45^\circ$	20	0.839	0.709	0.472	0.433	0.323
倾向：305°	10	0.941	0.937	0.921	0.921	0.917
倾向：60°	15	0.917	0.906	0.890	0.886	0.878
$\alpha = 35^\circ \beta = 60^\circ$	20	0.890	0.874	0.843	0.839	0.827
倾向：315°	10	0.941	0.949	0.909	0.902	0.760

结构面产状	结构	结构面强度				
	面迹					
	长	1	2	3	4	5
	L/m					
倾向：15°	15	0.890	0.902	0.705	0.563	0.413
$\alpha = 45^\circ \beta = 15^\circ$	20	0.886	0.902	0.713	0.567	0.394
倾向：315°	10	0.933	0.937	0.693	0.508	0.433
倾向：30°	15	0.850	0.740	0.409	0.331	0.220
$\alpha = 45^\circ \beta = 30^\circ$	20	0.657	0.654	0.362	0.295	0.201
倾向：315°	10	0.917	0.913	0.874	0.866	0.846
倾向：45°	15	0.846	0.764	0.441	0.433	0.382
$\alpha = 45^\circ \beta = 45^\circ$	20	0.717	0.445	0.236	0.189	0.126
倾向：315°	10	0.933	0.929	0.909	0.906	0.898
倾向：60°	15	0.902	0.894	0.866	0.862	0.854
$\alpha = 45^\circ \beta = 60^\circ$	20	0.835	0.823	0.776	0.760	0.736
倾向：325°	10	0.937	0.945	0.917	0.909	0.894
倾向：15°	15	0.898	0.906	0.815	0.713	0.472
$\alpha = 55^\circ \beta = 15^\circ$	20	0.890	0.906	0.811	0.661	0.441
倾向：325°	10	0.913	0.862	0.524	0.433	0.291
倾向：30°	15	0.858	0.843	0.457	0.366	0.244
$\alpha = 55^\circ \beta = 30^\circ$	20	0.795	0.791	0.429	0.350	0.236
倾向：325°	10	0.913	0.913	0.878	0.866	0.850
倾向：45°	15	0.795	0.650	0.350	0.280	0.185
$\alpha = 55^\circ \beta = 45^\circ$	20	0.681	0.496	0.272	0.220	0.150
倾向：325°	10	0.933	0.925	0.902	0.898	0.890
倾向：60°	15	0.870	0.854	0.681	0.634	0.626
$\alpha = 55^\circ \beta = 60^\circ$	20	0.835	0.799	0.756	0.732	0.650

附表 6 层面陡倾顺向结构边坡安全稳定性率
Attached Table 6 Safety stability rate of the layered steep slope forward structure

产状	结	结构面强度				
	构					
	面迹	1	2	3	4	5
	长					
	L/m					
倾向：275°	10	0.961	0.953	0.941	0.941	0.937
倾向：65°	15	0.941	0.933	0.921	0.917	0.913
$\alpha = 5^\circ \beta = 65^\circ$	20	0.929	0.913	0.894	0.890	0.886
倾向：275°	10	0.965	0.965	0.957	0.957	0.953
倾向：75°	15	0.969	0.961	0.949	0.949	0.945
$\alpha = 5^\circ \beta = 75^\circ$	20	0.957	0.945	0.933	0.925	0.921
倾向：275°	10	0.957	0.957	0.953	0.953	0.937
倾向：85°	15	0.941	0.937	0.925	0.921	0.917
$\alpha = 5^\circ \beta = 85^\circ$	20	0.921	0.917	0.898	0.894	0.890
倾向：285°	10	0.965	0.957	0.949	0.945	0.945

产状	结构面迹长 <i>L</i> /m	结构面强度				
		1	2	3	4	5
倾向：65°	15	0.941	0.933	0.917	0.917	0.909
$\alpha = 15^\circ \beta = 65^\circ$	20	0.941	0.929	0.917	0.913	0.909
倾向：285°	10	0.961	0.953	0.949	0.945	0.945
倾向：75°	15	0.961	0.953	0.937	0.933	0.929
$\alpha = 15^\circ \beta = 75^\circ$	20	0.953	0.941	0.929	0.925	0.917
倾向：285°	10	0.961	0.957	0.949	0.949	0.945
倾向：85°	15	0.945	0.925	0.925	0.921	0.917
$\alpha = 15^\circ \beta = 85^\circ$	20	0.929	0.909	0.898	0.894	0.886
倾向：295°	10	0.961	0.953	0.945	0.941	0.937
倾向：65°	15	0.937	0.925	0.913	0.909	0.906
$\alpha = 25^\circ \beta = 65^\circ$	20	0.933	0.917	0.902	0.898	0.890
倾向：295°	10	0.961	0.961	0.953	0.949	0.945
倾向：75°	15	0.961	0.953	0.941	0.937	0.933
$\alpha = 25^\circ \beta = 75^\circ$	20	0.957	0.929	0.913	0.909	0.906
倾向：295°	10	0.949	0.953	0.945	0.941	0.941
倾向：85°	15	0.945	0.945	0.937	0.929	0.925
$\alpha = 25^\circ \beta = 85^\circ$	20	0.917	0.913	0.902	0.902	0.898

附表 7 层面弱面顺向结构边坡安全稳定率
Attached Table 7 Safety stability rate of the layered weak surface forward structure

结构面产状	结构面迹长 <i>L</i> /m	结构面强度		
		3	4	5
倾向：275°	10	0.492	0.402	0.283
倾向：20°	15	0.421	0.343	0.232
$\alpha = 5^\circ \beta = 20^\circ$	20	0.406	0.343	0.228
倾向：275°	10	0.870	0.862	0.843
倾向：30°	15	0.386	0.303	0.217
$\alpha = 5^\circ \beta = 30^\circ$	20	0.268	0.220	0.146
倾向：275°	10	0.886	0.878	0.866
倾向：40°	15	0.748	0.579	0.472
$\alpha = 5^\circ \beta = 40^\circ$	20	0.335	0.260	0.173
倾向：275°	10	0.898	0.894	0.890
倾向：50°	15	0.850	0.846	0.839
$\alpha = 5^\circ \beta = 50^\circ$	20	0.807	0.795	0.780
倾向：285°	10	0.539	0.437	0.311
倾向：20°	15	0.429	0.354	0.240
$\alpha = 15^\circ \beta = 20^\circ$	20	0.413	0.350	0.232
倾向：285°	10	0.890	0.878	0.866
倾向：30°	15	0.472	0.311	0.209
$\alpha = 15^\circ \beta = 30^\circ$	20	0.272	0.220	0.150

倾向：285°	10	0.902	0.894	0.886
倾向：40°	15	0.732	0.709	0.618
$\alpha = 15^\circ \beta = 40^\circ$	20	0.433	0.331	0.220
倾向：285°	10	0.913	0.909	0.906
倾向：50°	15	0.827	0.819	0.811
$\alpha = 15^\circ \beta = 50^\circ$	20	0.768	0.752	0.728
倾向：295°	10	0.528	0.429	0.287
倾向：20°	15	0.461	0.374	0.252
$\alpha = 25^\circ \beta = 20^\circ$	20	0.425	0.358	0.240
倾向：295°	10	0.890	0.878	0.866
倾向：30°	15	0.472	0.311	0.209
$\alpha = 25^\circ \beta = 30^\circ$	20	0.272	0.220	0.150
倾向：295°	10	0.882	0.874	0.862
倾向：40°	15	0.630	0.472	0.394
$\alpha = 25^\circ \beta = 40^\circ$	20	0.311	0.217	0.146
倾向：295°	10	0.894	0.890	0.882
倾向：50°	15	0.807	0.795	0.780
$\alpha = 25^\circ \beta = 50^\circ$	20	0.673	0.626	0.425

附表 8 碎裂散状结构边坡安全稳定率
Attached Table 8 Safety stability rate of slopes with cataclastic structure

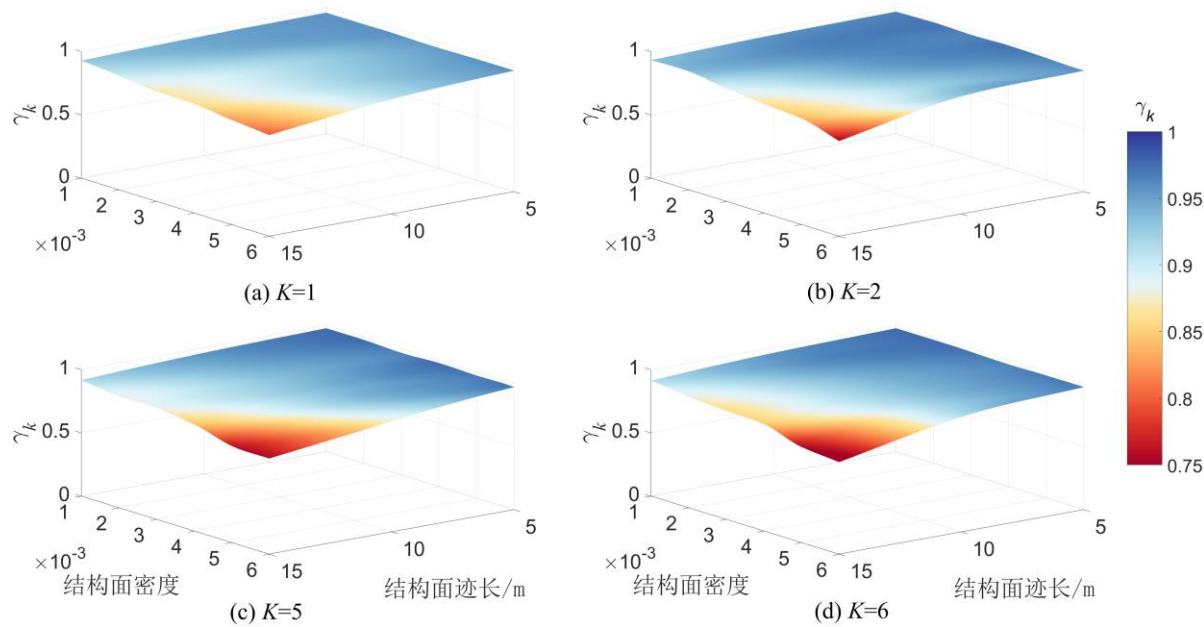
结构面密度 <i>D</i> /单位面积多边形数目	结构面强度			
	2	3	4	5
0.005	0.563	0.299	0.236	0.161
0.010	0.476	0.252	0.205	0.138
0.015	0.571	0.315	0.256	0.173
0.020	0.547	0.295	0.232	0.161
0.025	0.591	0.323	0.260	0.173
0.030	0.583	0.311	0.252	0.169
0.035	0.547	0.303	0.248	0.165
0.040	0.524	0.283	0.232	0.154

附表 9 倾倒结构边坡安全稳定率
Attached Table 9 Safety stability rate of toppling structure

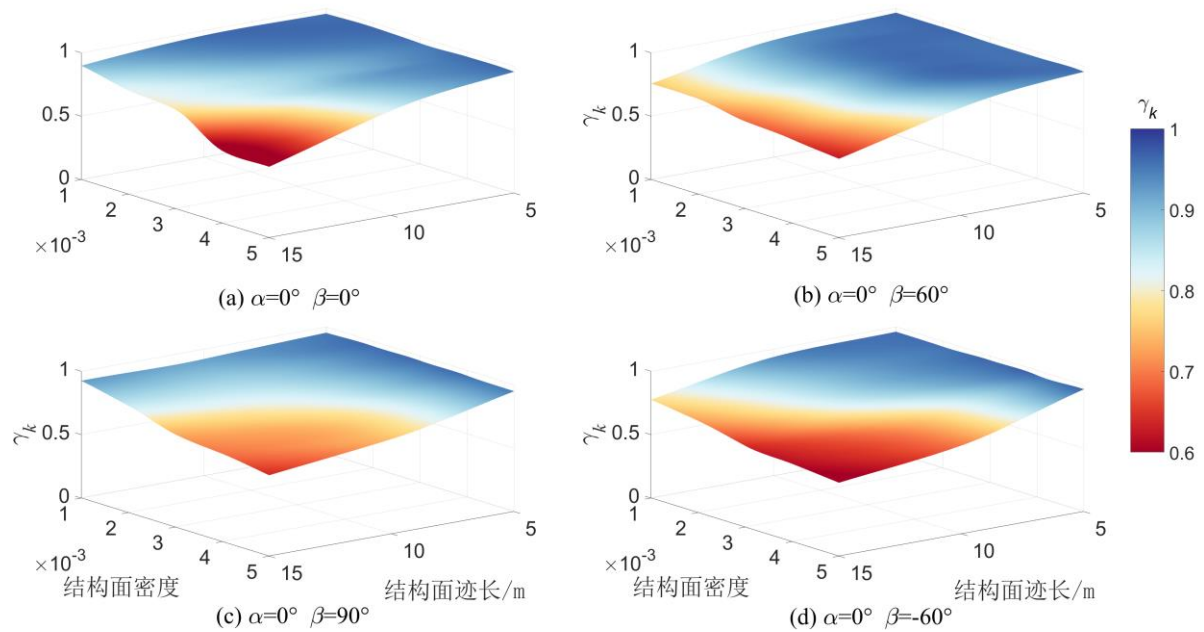
结构面产状	结构面倾角 $\beta 2/^\circ$	贯穿型结构面强度				
		1	2	3	4	5
反向结构： $\alpha 1 = 5^\circ \beta 1 = -45^\circ$	20	0.539	0.535	0.343	0.299	0.205
贯穿型结构面： $\alpha 2 = 0^\circ$	30	0.445	0.421	0.248	0.205	0.138
陡倾顺向结构： $\alpha 1 = 5^\circ \beta 1 = 75^\circ$	40	0.421	0.331	0.177	0.146	0.098
	50	0.567	0.287	0.146	0.118	0.075
贯穿型结构面： $\alpha 2 = 0^\circ$	20	0.598	0.362	0.370	0.307	0.213
	30	0.449	0.445	0.244	0.201	0.134
	40	0.421	0.335	0.181	0.146	0.098
	50	0.579	0.299	0.146	0.114	0.079

注： α_1 为反向结构面或陡倾顺向结构面与坡面走向的夹角； α_2 为贯穿型结构面与坡面走向的夹角； β_1 为反向结构面或陡倾顺向结构面的倾角； β_2 为贯穿型结构面的倾角， β_1 与 β_2 为“+”时表示与坡面倾向相同，否则相反。

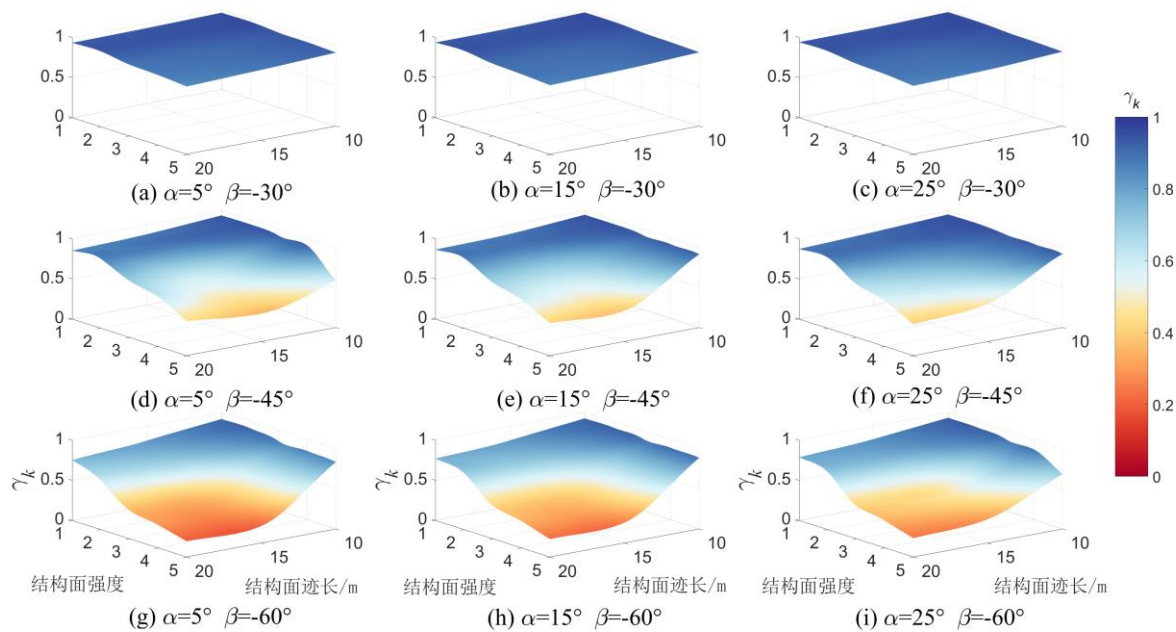
附图：不同坡体结构类型下岩质边坡安全稳定率变化图像



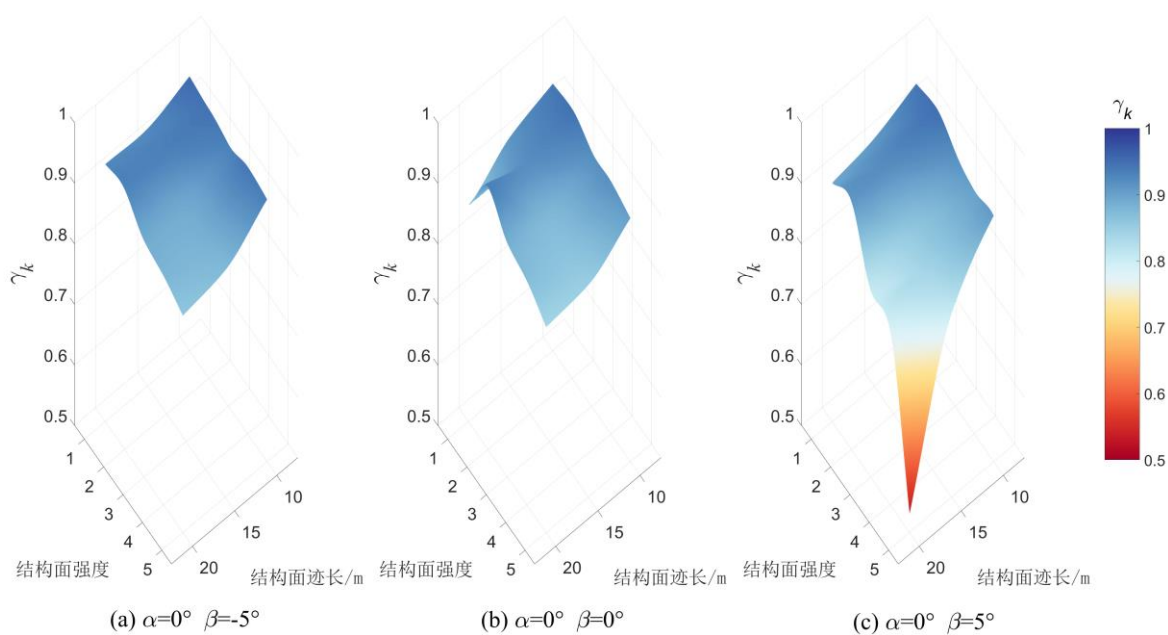
附图 11 整体块状结构边坡安全稳定率变化情况
Attached Fig.11 Changes in safety stability rate of integral massive structure slope



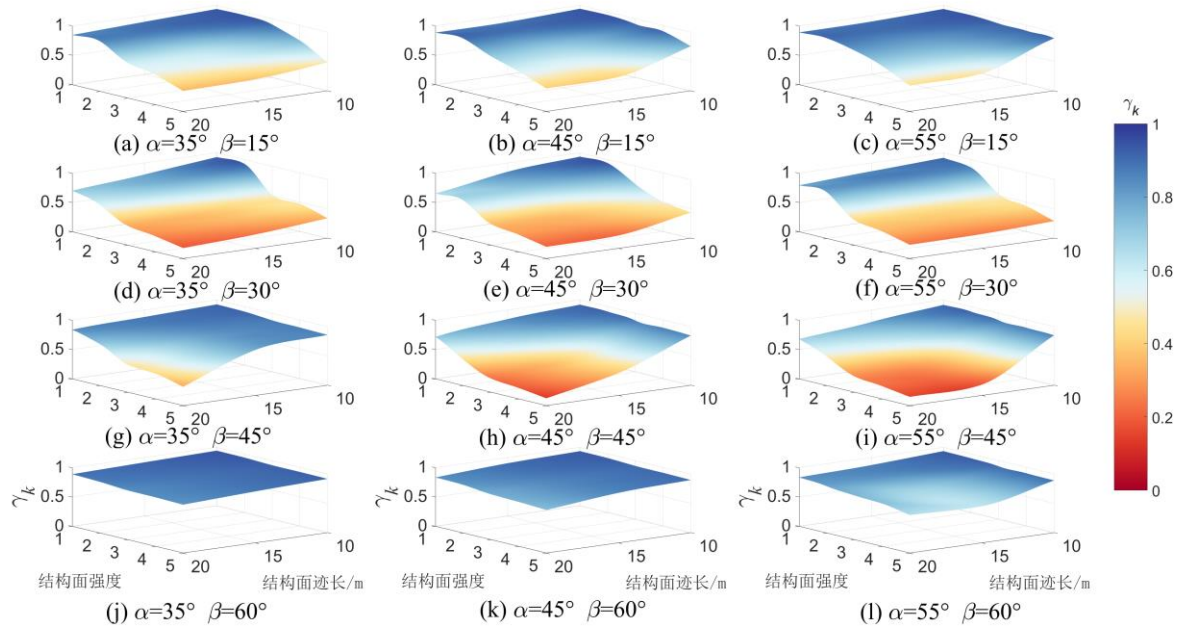
附图 12 块状结构边坡安全稳定率变化情况
Attached Fig.12 Changes in safety stability rate of massive structure slopes



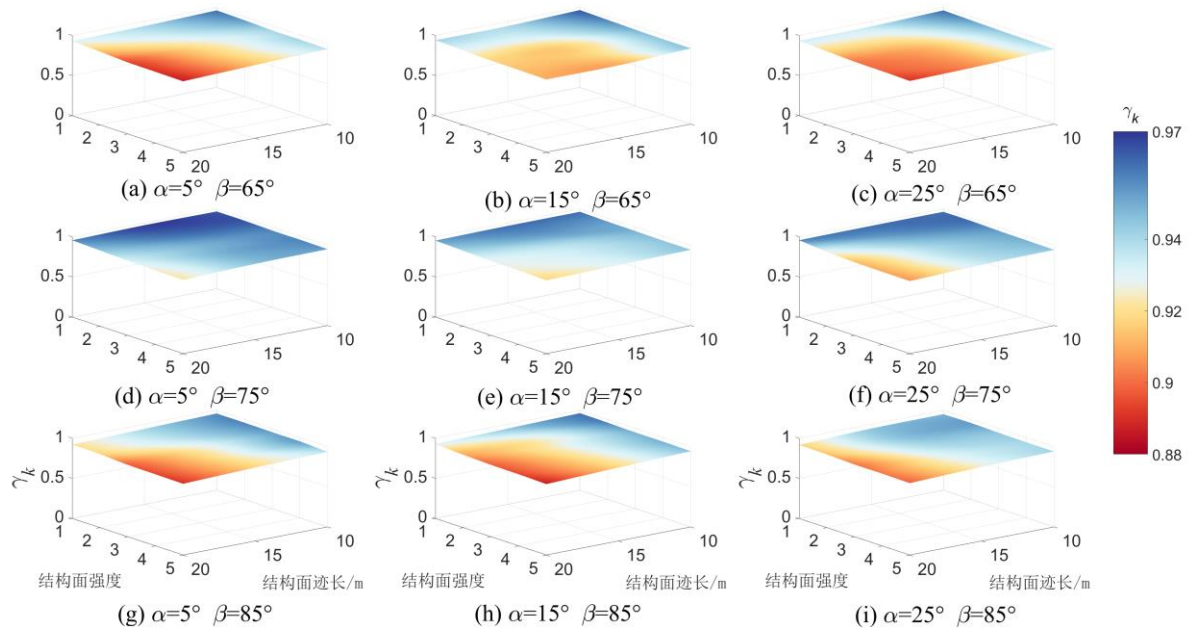
附图 13 反向结构边坡安全稳率变化情况
Attached Fig.13 Changes in safety stability rate of reverse structure slopes



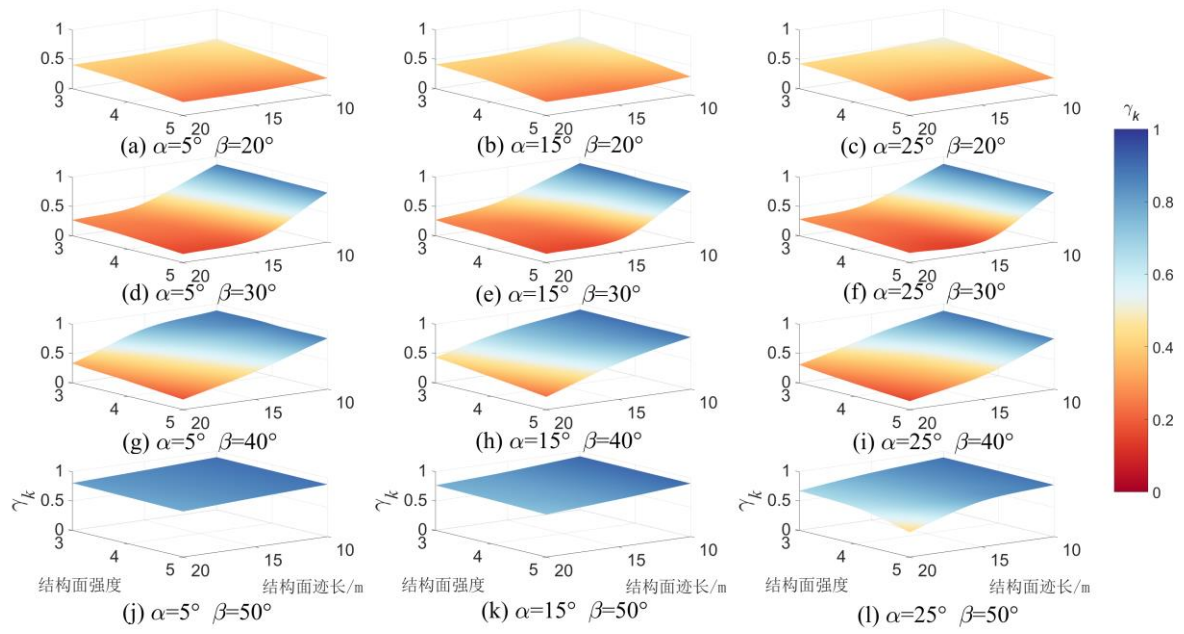
附图 14 平叠结构边坡安全稳率变化情况
Attached Fig.14 Changes in safety stability rate of flat stacked structure slopes



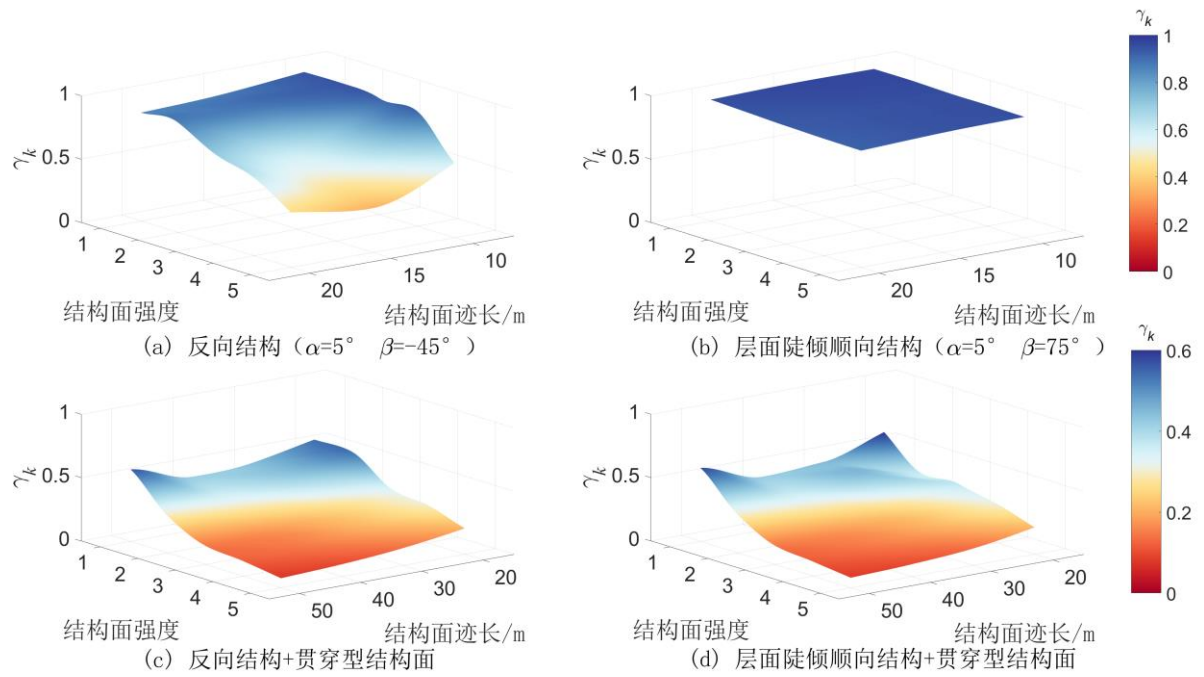
附图 15 斜向结构边坡安全稳定率变化情况
Attached Fig.15 Changes in safety stability rate of oblique structure slopes



附图 16 层面陡倾顺向结构边坡安全稳定率变化情况
Attached Fig.16 Changes in safety stability rate of layered steep slope forward structure slopes



附图 17 层面弱面顺向结构边坡安全稳定率变化情况
Attached Fig.17 Variation of safety stability rate of layered weak surface forward structure slopes



附图 18 倾倒结构边坡安全稳定率变化情况
Attached Fig.18 Changes in safety stability rate of toppling structure slopes